Supplementary material

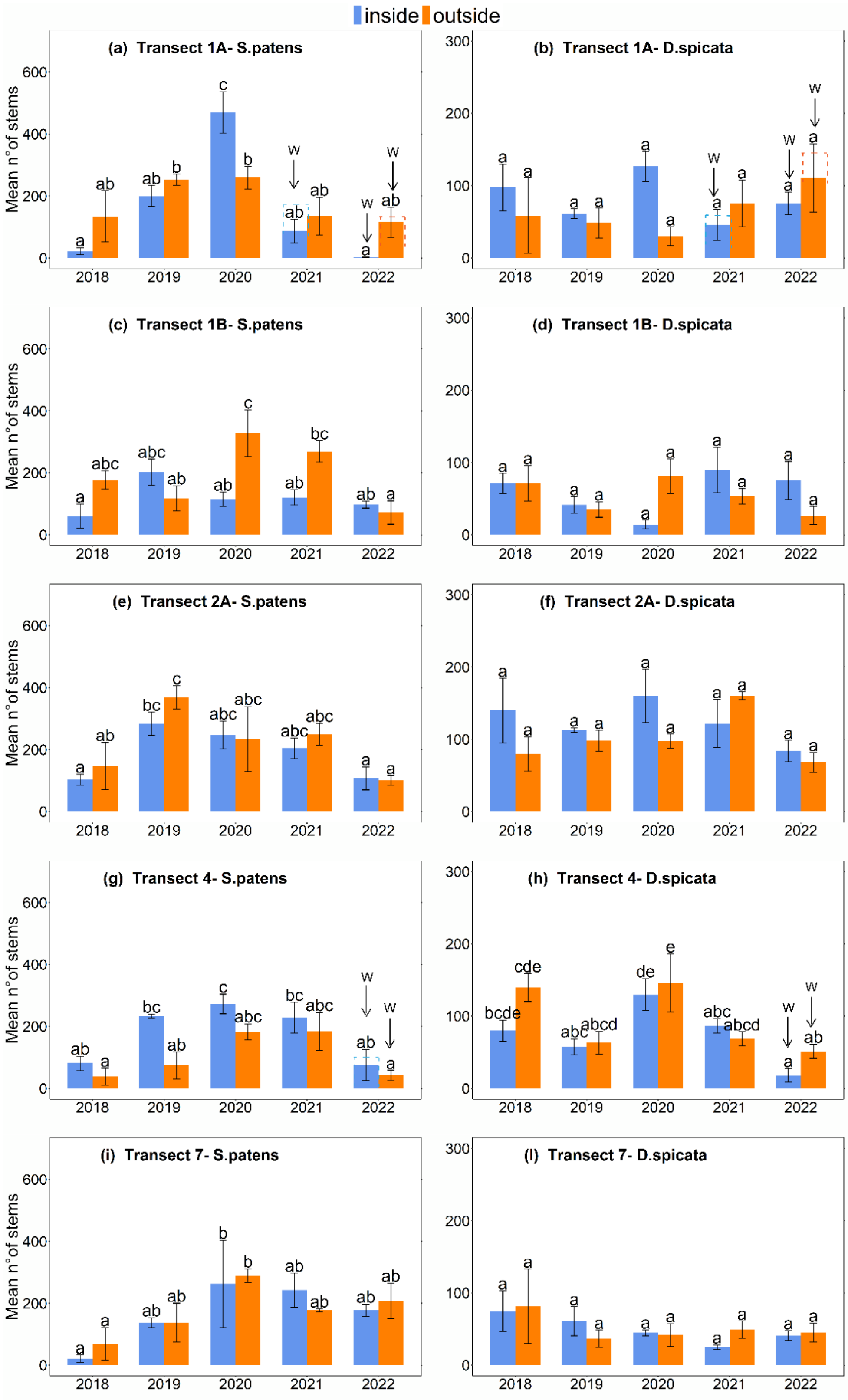

Figure S1a: Number of stems of Spartina patens and Distichlis spicata inside and outside the sediment 3 *patches over the years. Letters over the bars identify post-hoc Tukey test results. W identifies wrack presence and dotted lines correspond to the values without plots affected by wrack.*

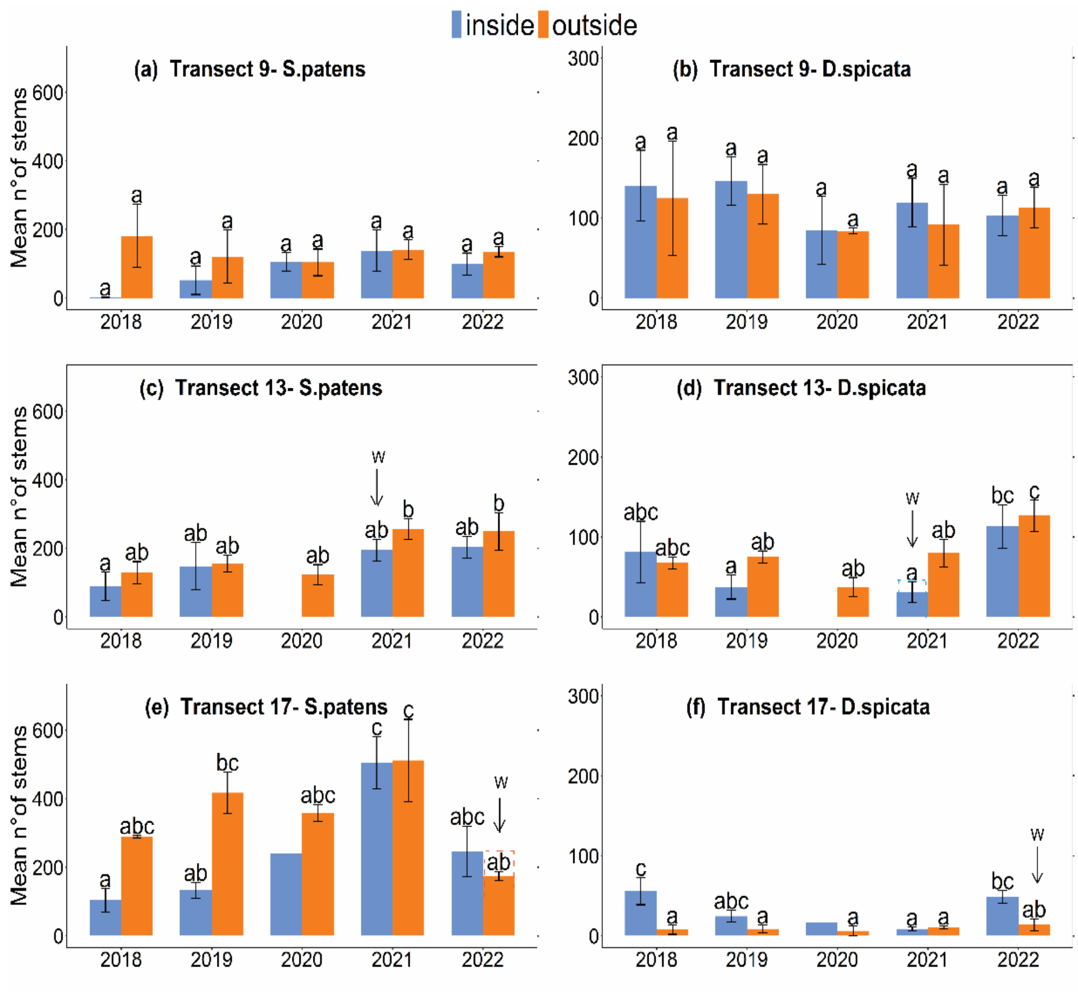

Figure S1b: Number of stems of Spartina patens and Distichlis spicata inside and outside the sediment patches over the years. Letters over the bars identify post-hoc Tukey test results. W identifies wrack presence and dotted lines correspond to the values without plots affected by wrack.

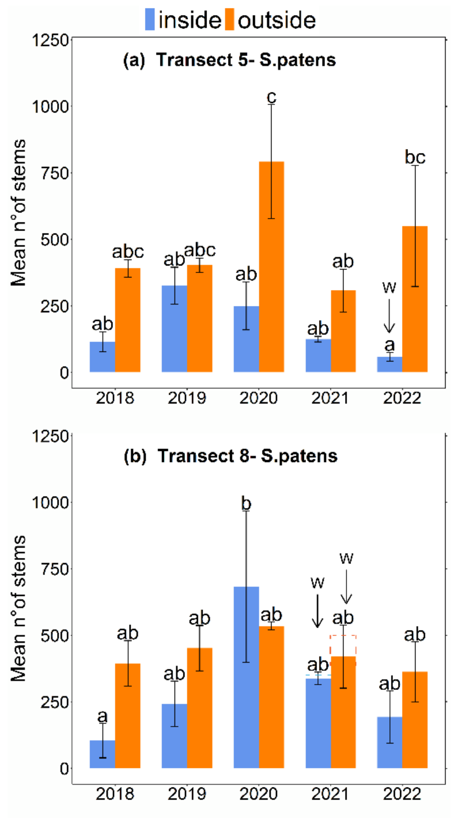

Figure S2: Number of stems of Spartina patens inside and outside the patches 5 and 8. Letters over the bars identify post-hoc Tukey test results. W identifies wrack presence and dotted lines correspond to the values without plots affected by wrack.

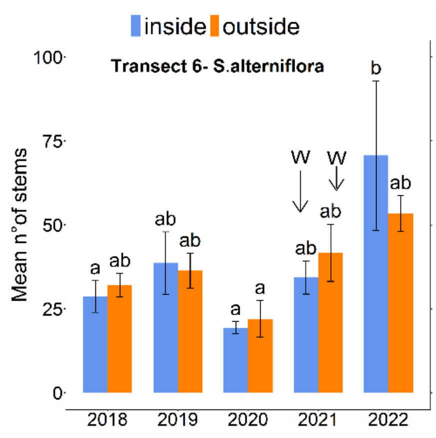

Figure S3: Number of stems of Spartina alterniflora inside and outside the patch in transect 10 over the years. Letters over the bars identify post-hoc Tukey test results. W identifies wrack presence and dotted lines correspond to the values without plots affected by wrack.

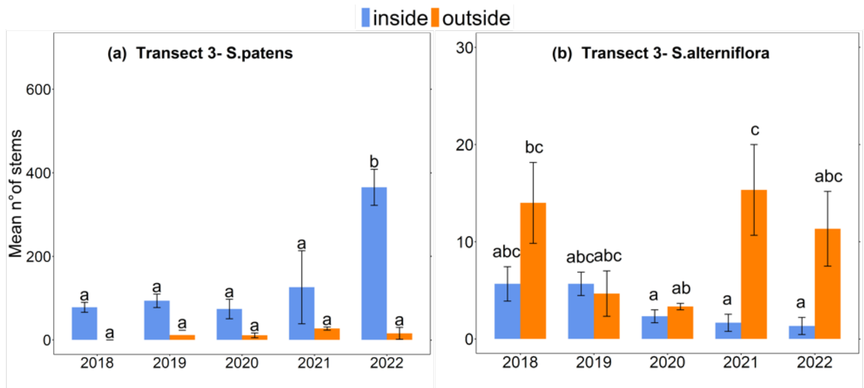

Figure S4: Number of stems of Spartina patens and Spartina alterniflora inside and outside the patch in transect 3. Letters over the bars identify post-hoc Tukey test results. W identifies wrack presence and dotted lines correspond to the values without plots affected by wrack.

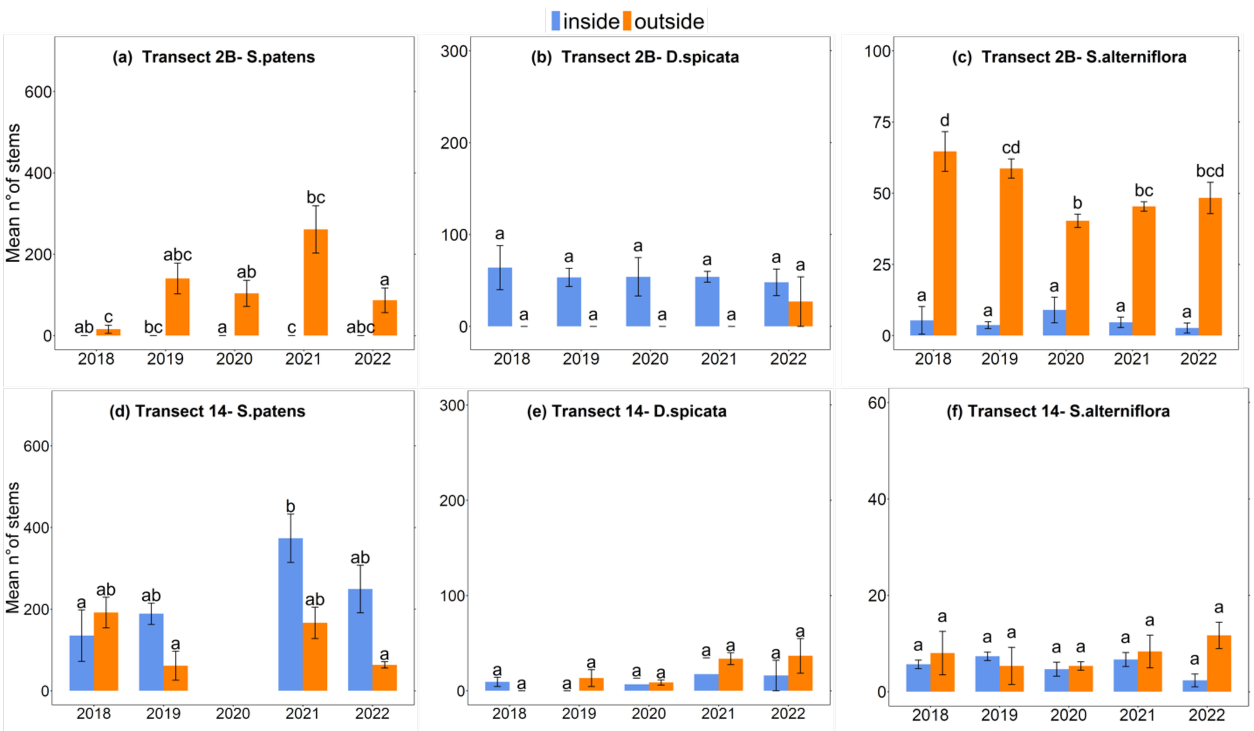

Figure S5: Number of stems of Spartina patens, Distichlis spicata and Spartina alterniflora inside and outside the sediment patch of transect 2B and 14. Letters over the bars identify post-hoc Tukey test results. W identifies wrack presence and dotted lines correspond to the values without plots affected by wrack.

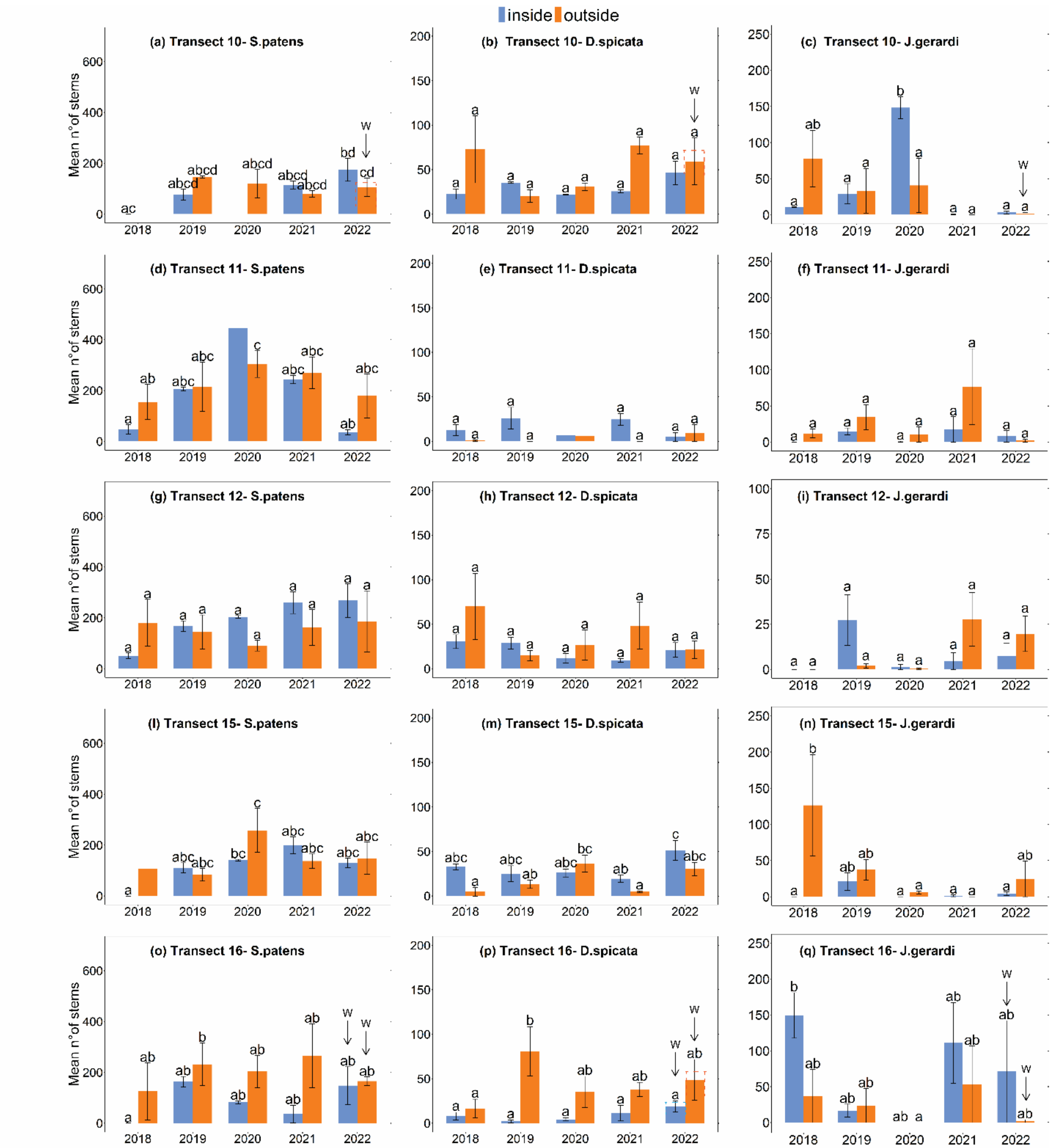

Figure S6: Number of stems of Spartina patens, Distichlis spicata and Juncus gerardi inside and outside the sediment patch of transect 10,11,12,15 and 16. Letters over the bars identify post-hoc Tukey test results. W identifies wrack presence and dotted lines correspond to the values without plots affected by wrack.

Table S1: Summary results of two-way ANOVA model for number of stems of Spartina patens outside and inside over years for each patch: stems~position+year+position:year. Position and year are main effects and position:year represents the interaction. Bold text is used to identify significant difference in the levels of each effect.

Transect	Test	Position	Year	Position: Year
1A	*F value*	0.61 (F_{crit}= 2.97)	**15.10** (F_{crit}= 2.25)	**4.18** (F_{crit}= 2.25)
	p value	0.44 (α_{crit}= 0.1)	**$7.70*10^{-2}$**(α_{crit}= 0.1)	**$1.30*10^{-2}$**(α_{crit}= 0.1)
1B	*F value*	**8.79** (F_{crit}= 2.97)	**3.97** (F_{crit}= 2.25)	**4.97** (F_{crit}= 2.25)
	p value	**$7.60*10^{-3}$**(α_{crit}= 0.1)	**$1.60*10^{-2}$**(α_{crit}= 0.1)	**$6.00*10^{-3}$**(α_{crit}= 0.1)
2A	*F value*	0.91 (F_{crit}= 2.97)	**6.32** (F_{crit}= 2.25)	0.31 (F_{crit}= 2.25)
	p value	0.35 (α_{crit}= 0.1)	**$2.00*10^{-3}$**(α_{crit}= 0.1)	0.87 (α_{crit}= 0.1)
2B	*F value*	-	**7.13** (F_{crit}= 2.18)	-
	p value	-	**$5.60*10^{-4}$**(α_{crit}= 0.1)	-
3	*F value*	**41.61** (F_{crit}= 2.97)	**7.41** (F_{crit}= 2.25)	**6.67** (F_{crit}= 2.25)
	p value	**$2.73*10^{-6}$**(α_{crit}= 0.1)	**$7.80*10^{-4}$**(α_{crit}= 0.1)	**$1.30*10^{-3}$**(α_{crit}= 0.1)
4	*F value*	**9.80** (F_{crit}= 2.97)	**9.02** (F_{crit}= 2.25)	0.99 (F_{crit}= 2.25)
	p value	**$5.30*10^{-3}$**(α_{crit}= 0.1)	**$2.50*10^{-4}$** (α_{crit}= 0.1)	0.44 (α_{crit}= 0.1)
5	*F value*	**25.48** (F_{crit}= 2.98)	**3.21** (F_{crit}= 2.27)	2.10 (F_{crit}= 2.27)
	p value	**$7.15*10^{-5}$**(α_{crit}= 0.1)	**$4.00*10^{-2}$**(α_{crit}= 0.1)	0.12 (α_{crit}= 0.1)
7	*F value*	$4.80*10^{-2}$(F_{crit}= 2.97)	**4.36** (F_{crit}= 2.25)	0.29 (F_{crit}= 2.25)
	p value	0.83 (α_{crit}= 0.1)	**$1.00*10^{-2}$**(α_{crit}= 0.1)	0.88 (α_{crit}= 0.1)
8	*F value*	2.52 (F_{crit}= 2.97)	**2.79** (F_{crit}= 2.25)	0.97 (F_{crit}= 2.25)
	p value	0.13 (α_{crit}= 0.1)	**$5.00*10^{-2}$**(α_{crit}= 0.1)	0.44 (α_{crit}= 0.1)
9	*F value*	**3.37** (F_{crit}= 2.97)	0.38 (F_{crit}= 2.25)	1.13 (F_{crit}= 2.25)
	p value	**$8.00*10^{-2}$**(α_{crit}= 0.1)	0.82 (α_{crit}= 0.1)	0.37 (α_{crit}= 0.1)
10	*F value*	0.53 (F_{crit}= 3.10)	**3.45** (F_{crit}= 2.39)	1.97 (F_{crit}= 2.39)
	p value	0.48 (α_{crit}= 0.1)	**$4.00*10^{-2}$**(α_{crit}= 0.1)	0.18 (α_{crit}= 0.1)
11	*F value*	1.69 (F_{crit}= 3.05)	**4.28** (F_{crit}= 2.33)	1.06 (F_{crit}= 2.33)
	p value	0.21 (α_{crit}= 0.1)	**$1.50*10^{-2}$**(α_{crit}= 0.1)	0.41 (α_{crit}= 0.1)
12	*F value*	0.87 (F_{crit}= 2.97)	1.09 (F_{crit}= 2.25)	1.25 (F_{crit}= 2.25)
	p value	0.36 (α_{crit}= 0.1)	0.39 (α_{crit}= 0.1)	0.32 (α_{crit}= 0.1)
13	*F value*	0.75 (F_{crit}= 3.01)	**3.69** (F_{crit}= 2.29)	0.15 (F_{crit}= 2.29)
	p value	0.40 (α_{crit}= 0.1)	**$2.30*10^{-2}$**(α_{crit}= 0.1)	0.93 (α_{crit}= 0.1)
14	*F value*	**8.84** (F_{crit}= 3.10)	**4.90** (F_{crit}= 2.39)	**2.65** (F_{crit}= 2.39)
	p value	**$1.00*10^{-2}$**(α_{crit}= 0.1)	**$1.00*10^{-2}$**(α_{crit}= 0.1)	**$7.80*10^{-2}$**(α_{crit}= 0.1)

15	*F value*	1.88 (F_{crit}= 3.01)	**4.16** (F_{crit}= 2.29)	1.69 (F_{crit}= 2.29)
	p value	0.19 (α_{crit}= 0.1)	**1.50*10^{-2}**(α_{crit}= 0.1)	0.20 (α_{crit}= 0.1)
16	*F value*	**6.69** (F_{crit}= 2.97)	1.03 (F_{crit}= 2.25)	0.66 (F_{crit}= 2.25)
	p value	**1.80*10^{-2}**(α_{crit}= 0.1)	0.42 (α_{crit}= 0.1)	0.63 (α_{crit}= 0.1)
17	*F value*	**5.78** (F_{crit}= 3.05)	**8.85** (F_{crit}= 2.33)	**2.52** (F_{crit}= 2.33)
	p value	**2.90*10^{-2}**(α_{crit}= 0.1)	**5.70*10^{-4}**(α_{crit}= 0.1)	**8.20*10^{-2}**(α_{crit}= 0.1)

Table S2: Summary results of two-way ANOVA model for number of stems of Distichlis spicata outside and inside over years for each patch: stems~position+year+position:year. Position and year are main effects and position:year represents the interaction. Bold text is used to identify significant difference in the levels of each effect.

Transect	Test	Position	Year	Position: Year
1A	*F value*	0.79 (F_{crit}= 2.97)	0.53 (F_{crit}= 2.25)	1.67 (F_{crit}= 2.25)
	p value	0.39 (α_{crit}= 0.1)	0.71 (α_{crit}= 0.1)	0.20 (α_{crit}= 0.1)
1B	*F value*	0.15 (F_{crit}= 2.97)	1.21 (F_{crit}= 2.25)	**2.78** (F_{crit}= 2.25)
	p value	0.70 (α_{crit}= 0.1)	0.34 (α_{crit}= 0.1)	**5.00*10^{-2}**(α_{crit}= 0.1)
2A	*F value*	2.24 (F_{crit}= 2.97)	2.13 (F_{crit}= 2.25)	1.47 (F_{crit}= 2.25)
	p value	0.15 (α_{crit}= 0.1)	0.11 (α_{crit}= 0.1)	0.25 (α_{crit}= 0.1)
2B	*F value*	-	0.10 (F_{crit}= 2.18)	-
	p value	-	0.98 (α_{crit}= 0.1)	-
3	*F value*	**21.24** (F_{crit}= 2.97)	**15.43** (F_{crit}= 2.25)	**16.04** (F_{crit}= 2.25)
	p value	**1.70*10^{-4}**(α_{crit}= 0.1)	**6.58*10^{-6}**(α_{crit}= 0.1)	**4.95*10^{-6}**(α_{crit}= 0.1)
4	*F value*	2.69 (F_{crit}= 2.97)	**9.50** (F_{crit}= 2.25)	1.23 (F_{crit}= 2.25)
	p value	0.12 (α_{crit}= 0.1)	**1.80*10^{-4}**(α_{crit}= 0.1)	0.33 (α_{crit}= 0.1)
7	*F value*	1.30*10^{-2}(F_{crit}= 2.97)	1.13 (F_{crit}= 2.25)	0.33 (F_{crit}= 2.25)
	p value	0.91 (α_{crit}= 0.1)	0.37 (α_{crit}= 0.1)	0.85 (α_{crit}= 0.1)
9	*F value*	**0.16** (F_{crit}= 2.97)	0.60 (F_{crit}= 2.25)	6.80*10^{-2}(F_{crit}= 2.25)
	p value	**0.69** (α_{crit}= 0.1)	0.67 (α_{crit}= 0.1)	0.99 (α_{crit}= 0.1)
10	*F value*	**4.73** (F_{crit}= 2.97)	1.38 (F_{crit}= 2.25)	1.66 (F_{crit}= 2.25)
	p value	**4.20*10^{-2}**(α_{crit}= 0.1)	0.28 (α_{crit}= 0.1)	0.20 (α_{crit}= 0.1)
11	*F value*	**10.11** (F_{crit}= 3.07)	0.35 (F_{crit}= 2.36)	1.70 (F_{crit}= 2.36)
	p value	**6.20*10^{-3}**(α_{crit}= 0.1)	0.84 (α_{crit}= 0.1)	0.20 (α_{crit}= 0.1)
12	*F value*	2.36 (F_{crit}= 2.97)	1.23 (F_{crit}= 2.25)	1.04 (F_{crit}= 2.25)
	p value	0.14 (α_{crit}= 0.1)	0.33 (α_{crit}= 0.1)	0.41 (α_{crit}= 0.1)
13	*F value*	0.76 (F_{crit}= 3.00)	**4.71** (F_{crit}= 2.89)	0.96 (F_{crit}= 2.89)

	p value	0.40 (α_{crit}= 0.1)	**8.90*10^{-3}**(α_{crit}= 0.1)	0.43 (α_{crit}= 0.1)
14	*F value*	1.72 (F_{crit}= 2.97)	2.16 (F_{crit}= 2.25)	0.69 (F_{crit}= 2.25)
	p value	0.21 (α_{crit}= 0.1)	0.11 (α_{crit}= 0.1)	0.61 (α_{crit}= 0.1)
15	*F value*	**9.86** (F_{crit}= 2.97)	**6.03** (F_{crit}= 2.25)	**2.37** (F_{crit}= 2.25)
	p value	**5.50*10^{-3}**(α_{crit}= 0.1)	**2.40*10^{-3}**(α_{crit}= 0.1)	**9.00*10^{-2}**(α_{crit}= 0.1)
16	*F value*	**15.97** (F_{crit}= 2.97)	1.37 (F_{crit}= 2.25)	1.78 (F_{crit}= 2.25)
	p value	**7.10*10^{-4}**(α_{crit}= 0.1)	0.28 (α_{crit}= 0.1)	0.17 (α_{crit}= 0.1)
17	*F value*	**19.59** (F_{crit}= 2.97)	**3.14** (F_{crit}= 2.25)	**2.97** (F_{crit}= 2.25)
	p value	**3.70*10^{-4}**(α_{crit}= 0.1)	**4.20*10^{-2}**(α_{crit}= 0.1)	**5.00*10^{-2}**(α_{crit}= 0.1)

Table S3: Summary results of two-way ANOVA model for number of stems of Spartina alterniflora outside and inside over years for each patch: stems~position+year+position:year. Position and year are main effects and position:year represents the interaction. Bold text is used to identify significant difference in the levels of each effect.

Transect	Test	Position	Year	Position: Year
2B	*F value*	**2.83** (F_{crit}= 2.97)	**358.03** (F_{crit}= 2.25)	**4.17** (F_{crit}= 2.25)
	p value	**5.00*10^{-2}**(α_{crit}= 0.1)	**3.10*10^{-14}**(α_{crit}= 0.1)	**1.00*10^{-2}**(α_{crit}= 0.1)
3	*F value*	**15.52** (F_{crit}= 2.97)	**2.30** (F_{crit}= 2.25)	**2.90** (F_{crit}= 2.25)
	p value	**8.20*10^{-4}**(α_{crit}= 0.1)	**9.00*10^{-2}**(α_{crit}= 0.1)	**5.00*10^{-2}**(α_{crit}= 0.1)
6	*F value*	0.05 (F_{crit}= 2.97)	**5.83** (F_{crit}= 2.25)	0.58 (F_{crit}= 2.25)
	p value	0.83 (α_{crit}= 0.1)	**2.80*10^{-3}**(α_{crit}= 0.1)	0.68 (α_{crit}= 0.1)
14	*F value*	0.29 (F_{crit}= 2.97)	2.31 (F_{crit}= 2.25)	1.42 (F_{crit}= 2.25)
	p value	0.88 (α_{crit}= 0.1)	0.44 (α_{crit}= 0.1)	0.26 (α_{crit}= 0.1)

Table S4: Summary results of two-way ANOVA model for number of stems of Juncus gerardi outside and inside over years for each patch: stems~position+year+position:year. Position and year are main effects and position:year represents the interaction. Bold text is used to identify significant difference in the levels of each effect.

Transect	Test	Position	Year	Position: Year
10	*F value*	**6.80** (F_{crit}= 2.97)	**0.33** (F_{crit}= 2.25)	**4.59** (F_{crit}= 2.25)
	p value	**1.30*10^{-3}**(α_{crit}= 0.1)	**0.57** (α_{crit}= 0.1)	**8.60*10^{-3}**(α_{crit}= 0.1)
11	*F value*	1.79 (F_{crit}= 2.99)	2.57 (F_{crit}= 2.27)	0.74 (F_{crit}= 2.27)
	p value	0.17 (α_{crit}= 0.1)	0.13 (α_{crit}= 0.1)	0.58 (α_{crit}= 0.1)
12	*F value*	2.12 (F_{crit}= 2.97)	0.14 (F_{crit}= 2.25)	**2.75** (F_{crit}= 2.25)
	p value	0.12 (α_{crit}= 0.1)	0.72(α_{crit}= 0.1)	**5.70*10^{-2}**(α_{crit}= 0.1)

15	*F value*	2.22 (F_{crit}= 2.97)	**4.75** (F_{crit}= 2.25)	**2.34** (F_{crit}= 2.25)
	p value	0.10 (α_{crit}= 0.1)	**4.10*10^{-2}**(α_{crit}= 0.1)	**9.00*10^{-2}**(α_{crit}= 0.1)
16	*F value*	2.27 (F_{crit}= 2.97)	**3.82** (F_{crit}= 2.25)	0.89 (F_{crit}= 2.25)
	p value	0.10 (α_{crit}= 0.1)	**6.50*10^{-2}**(α_{crit}= 0.1)	0.49 (α_{crit}= 0.1)

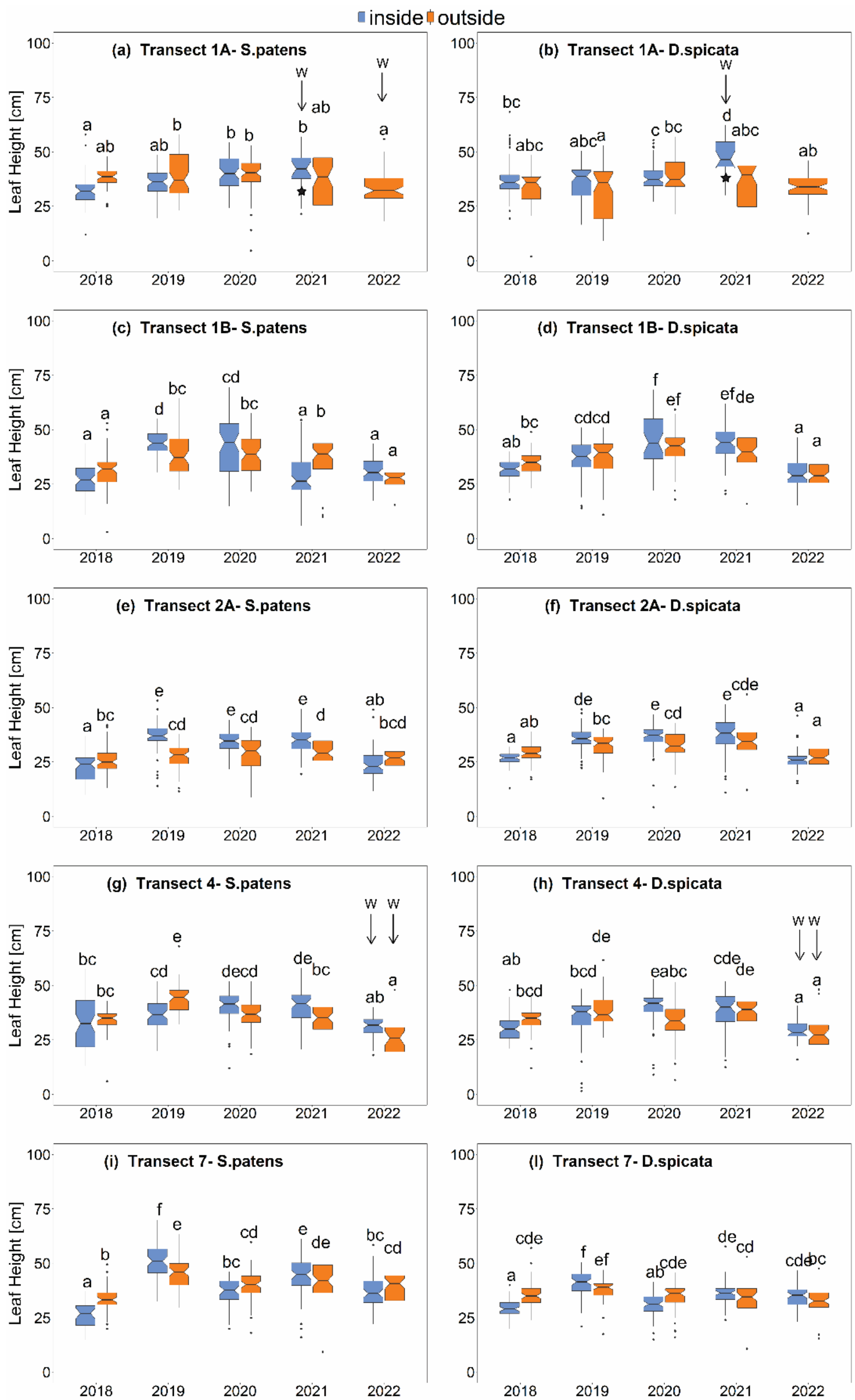

Figure S7a: Stem height of Spartina patens and Distichlis spicata inside and outside each sediment patch. Letters over the bars identify post-hoc Tukey test results.

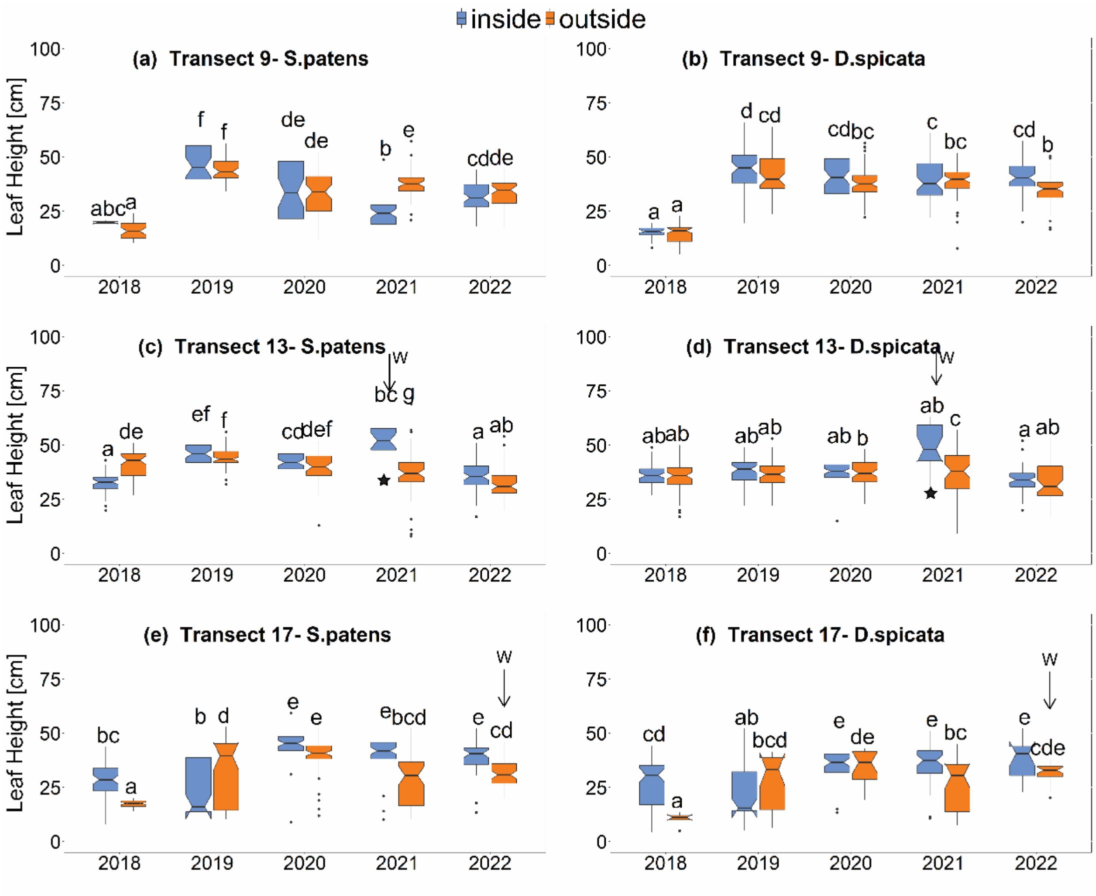

Figure S7b: Stem height of Spartina patens and Distichlis spicata inside and outside each sediment patch. Letters over the bars identify post-hoc Tukey test results.

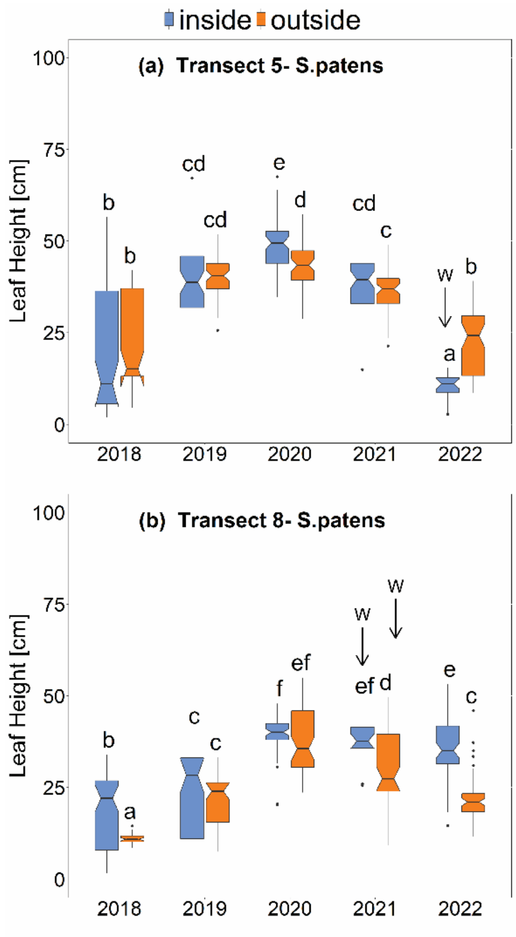

Figure S8: Stem height of Spartina patens inside and outside each sediment patch. Letters over the bars identify post-hoc Tukey test results. W identifies wrack presence and dotted lines correspond to the values without plots affected by wrack.

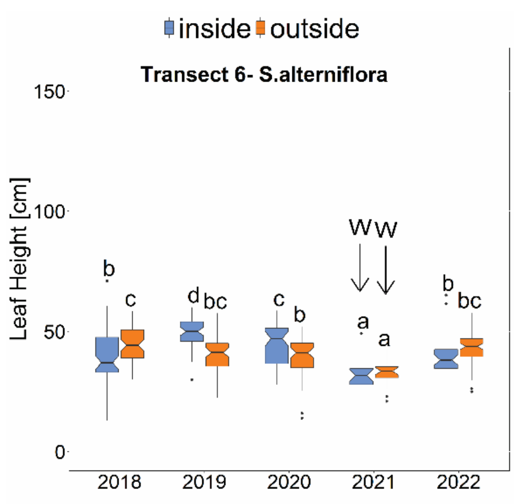

Figure S9: Stem height of Spartina alterniflora inside and outside sediment patch 6. Letters over the bars identify post-hoc Tukey test results. W identifies wrack presence and dotted lines correspond to the values without plots affected by wrack.

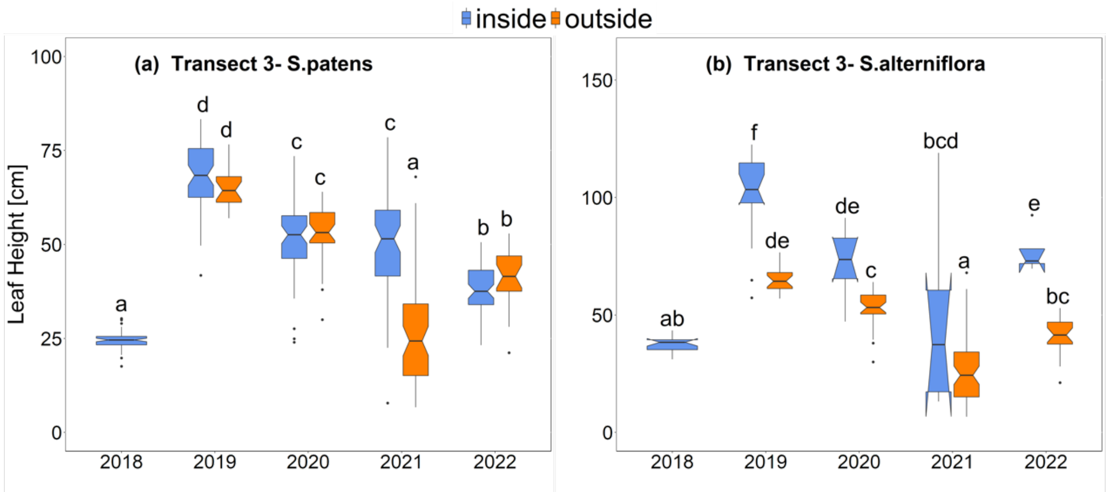

Figure S10: Stem height of Spartina patens and Spartina alterniflora inside and outside sediment patch 3. Letters over the bars identify post-hoc Tukey test results. W identifies wrack presence and dotted lines correspond to the values without plots affected by wrack.

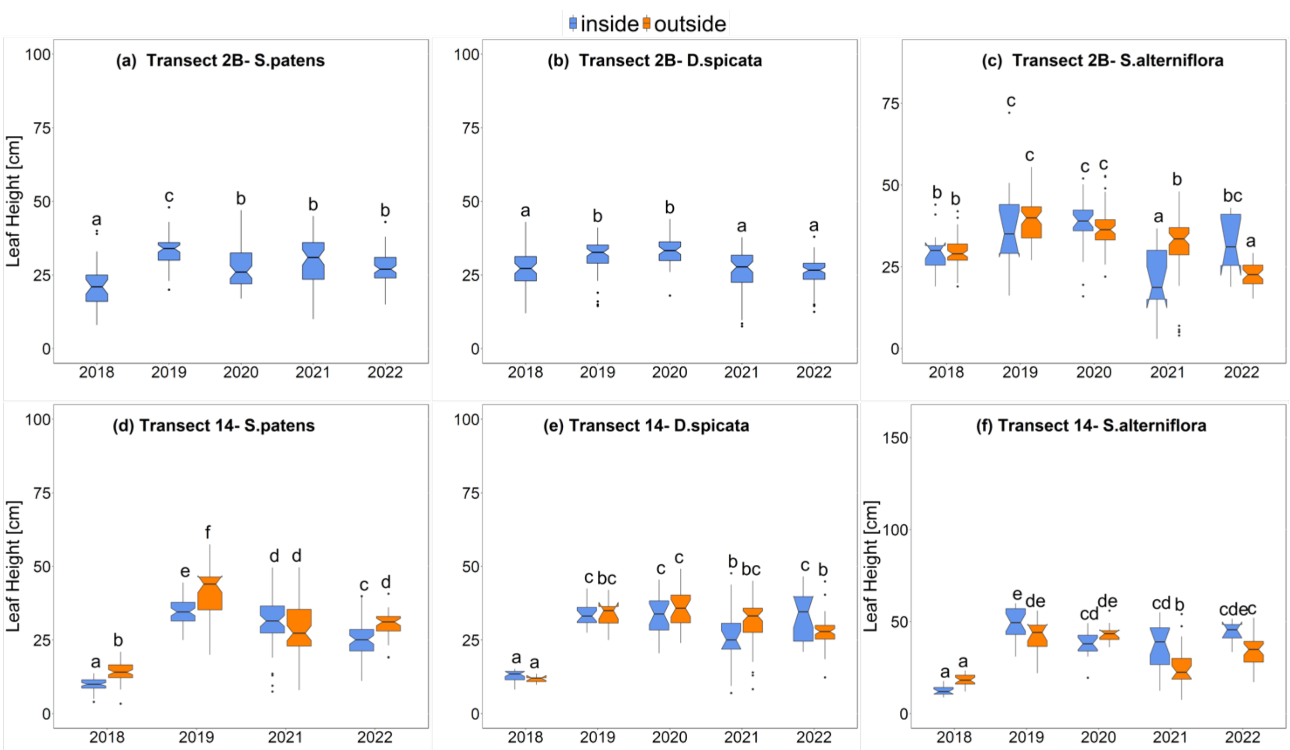

Figure S11: Stem heights of Spartina patens, Distichlis spicata and Spartina alterniflora inside and outside the sediment patch of transect 2B and 14. Letters over the bars identify post-hoc Tukey test *results. W identifies wrack presence and dotted lines correspond to the values without plots affected by wrack.*

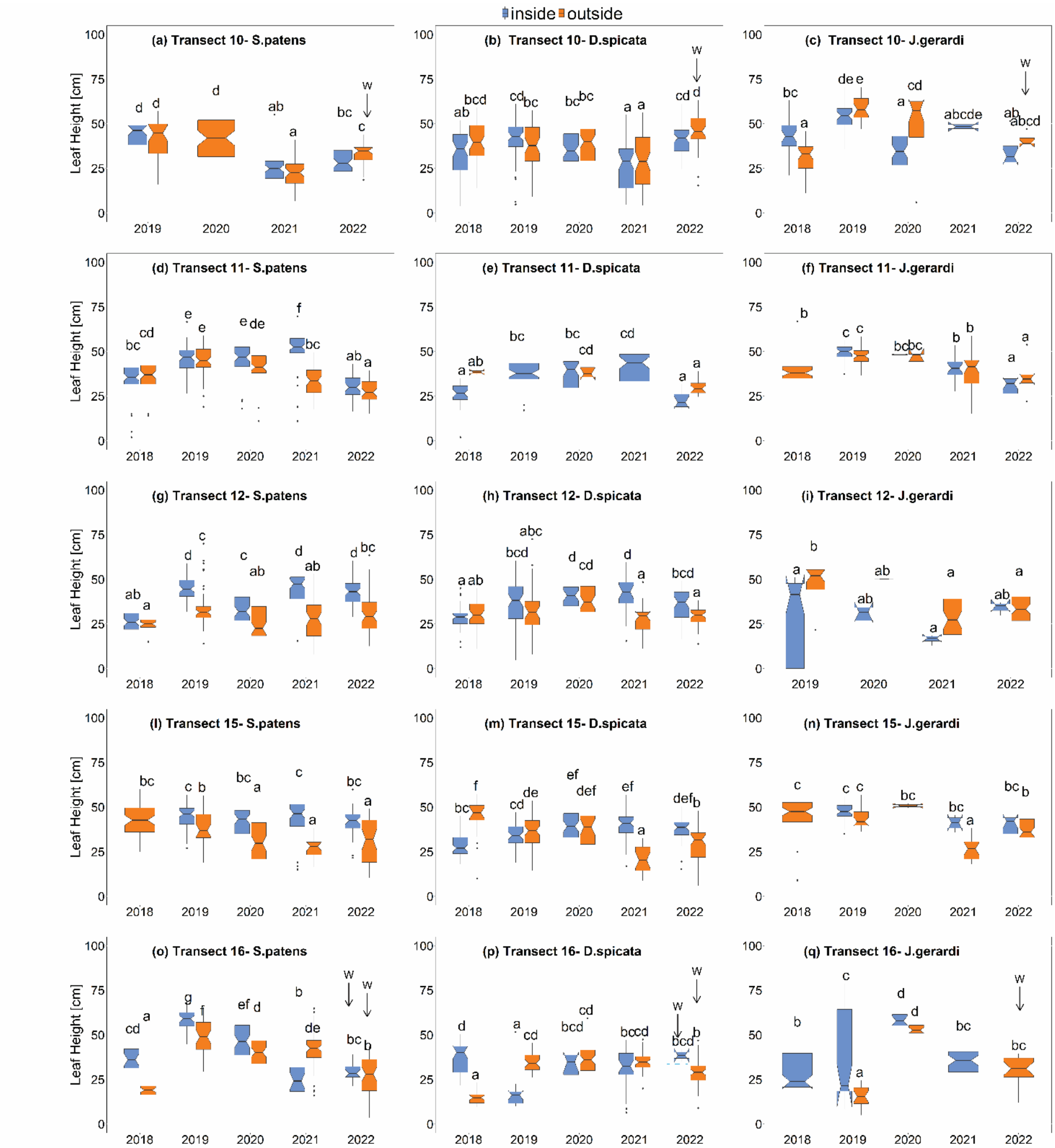

Figure S12: Number of stems of Spartina patens, Distichlis spicata and juncus gerardi inside and outside the sediment patch of transect 10,11,12,15 and 16. Letters over the bars identify post-hoc Tukey test results. W identifies wrack presence and dotted lines correspond to the values without plots affected by wrack.

Table S5: Summary results of two-way ANOVA model for stem heights of Spartina patens outside and inside over years for each patch: stems~position+year+position:year. Position and year are main effects and position:year represents the interaction. Bold text is used to identify significant difference in the levels of each effect.

Transect	Test	Position	Year	Position: Year
1A	*F value*	2.03 (F_{crit}= 2.72)	**6.36** (F_{crit}= 1.96)	**5.76** (F_{crit}= 1.96)
	p value	0.16 (α_{crit}= 0.1)	**$5.55*10^{-5}$**(α_{crit}= 0.1)	**$7.20*10^{-4}$**(α_{crit}= 0.1)
1B	*F value*	$8.10*10^{-2}$(F_{crit}= 2.72)	**44.93** (F_{crit}= 1.96)	**11.97** (F_{crit}= 1.96)
	p value	0.78 (α_{crit}= 0.1)	**$<2.20*10^{-16}$**(α_{crit}= 0.1)	**$2.45*10^{-9}$**(α_{crit}= 0.1)
2A	*F value*	**29.05** (F_{crit}= 2.72)	**48.12** (F_{crit}= 1.96)	**23.41** (F_{crit}= 1.96)
	p value	**$<2.20*10^{-16}$**(α_{crit}= 0.1)	**$1.02*10^{-7}$**(α_{crit}= 0.1)	**$<2.20*10^{-16}$**(α_{crit}= 0.1)
2B	*F value*	-	**18.02** (F_{crit}= 1.96)	-
	p value	-	**$3.25*10^{-13}$**(α_{crit}= 0.1)	-
3	*F value*	**40.96** (F_{crit}= 2.72)	**182.55** (F_{crit}= 1.96)	**27.17** (F_{crit}= 1.96)
	p value	**$4.10*10^{-10}$**(α_{crit}= 0.1)	**$<2.20*10^{-16}$**(α_{crit}= 0.1)	**$4.22*10^{-16}$**(α_{crit}= 0.1)
4	*F value*	1.13 (F_{crit}= 2.72)	**27.41** (F_{crit}= 1.96)	**10.82** (F_{crit}= 1.96)
	p value	0.29 (α_{crit}= 0.1)	**$<2.20*10^{-16}$**(α_{crit}= 0.1)	**$1.98*10^{-8}$**(α_{crit}= 0.1)
5	*F value*	0.27 (F_{crit}= 2.72)	**163.94** (F_{crit}= 1.96)	**9.53** (F_{crit}= 1.96)
	p value	0.61 (α_{crit}= 0.1)	**$<2.20*10^{-16}$**(α_{crit}= 0.1)	**$1.88*10^{-7}$**(α_{crit}= 0.1)
7	*F value*	$2.40*10^{-2}$(F_{crit}= 2.72)	**73.25** (F_{crit}= 1.96)	**11.12** (F_{crit}= 1.96)
	p value	0.88 (α_{crit}= 0.1)	**$<2.20*10^{-16}$**(α_{crit}= 0.1)	**$1.14*10^{-8}$**(α_{crit}= 0.1)
8	*F value*	**70.72** (F_{crit}= 2.72)	**136.70** (F_{crit}= 1.96)	**8.53** (F_{crit}= 1.96)
	p value	**$3.68*10^{-16}$**(α_{crit}= 0.1)	**$<2.20*10^{-16}$**(α_{crit}= 0.1)	**$1.20*10^{-6}$**(α_{crit}= 0.1)
9	*F value*	**15.16** (F_{crit}= 2.72)	**84.69** (F_{crit}= 1.96)	**15.81** (F_{crit}= 1.96)
	p value	**$1.10*10^{-4}$**(α_{crit}= 0.1)	**$<2.20*10^{-16}$**(α_{crit}= 0.1)	**$4.18*10^{-12}$**(α_{crit}= 0.1)
10	*F value*	$8.60*10^{-2}$(F_{crit}= 2.72)	**80.34** (F_{crit}= 1.96)	**2.77** (F_{crit}= 1.96)
	p value	0.77 (α_{crit}= 0.1)	**$<2.20*10^{-16}$**(α_{crit}= 0.1)	**$6.00*10^{-2}$**(α_{crit}= 0.1)
11	*F value*	**42.16** (F_{crit}= 2.72)	**62.74** (F_{crit}= 1.96)	**26.61** (F_{crit}= 1.96)
	p value	**$1.86*10^{-10}$**(α_{crit}= 0.1)	**$<2.20*10^{-16}$**(α_{crit}= 0.1)	**$<2.20*10^{-16}$**(α_{crit}= 0.1)
12	*F value*	**169.14** (F_{crit}= 2.72)	**41.10** (F_{crit}= 1.96)	**12.26** (F_{crit}= 1.96)
	p value	**$<2.20*10^{-16}$**(α_{crit}= 0.1)	**$<2.20*10^{-16}$**(α_{crit}= 0.1)	**$1.46*10^{-9}$** (α_{crit}= 0.1)
13	*F value*	**4.67** (F_{crit}= 2.72)	**39.14** (F_{crit}= 1.96)	**33.52** (F_{crit}= 1.96)
	p value	**$3.00*10^{-2}$**(α_{crit}= 0.1)	**$<2.20*10^{-16}$**(α_{crit}= 0.1)	**$<2.20*10^{-16}$**(α_{crit}= 0.1)
14	*F value*	**31.79** (F_{crit}= 2.72)	**342.24** (F_{crit}= 1.96)	**13.36** (F_{crit}= 1.96)
	p value	**$3.12*10^{-8}$**(α_{crit}= 0.1)	**$<2.20*10^{-16}$**(α_{crit}= 0.1)	**$2.38*10^{-8}$**(α_{crit}= 0.1)

15	*F value*	**101.04** (F_{crit}= 2.72)	**8.63** (F_{crit}= 1.96)	**3.60** (F_{crit}= 1.96)
	p value	**$<2.20*10^{-16}$**(α_{crit}= 0.1)	**$1.06*10^{-6}$**(α_{crit}= 0.1)	**$1.40*10^{-2}$**(α_{crit}= 0.1)
16	*F value*	**18.51** (F_{crit}= 2.72)	**113.15** (F_{crit}= 1.96)	**24.12** (F_{crit}= 1.96)
	p value	**$2.55*10^{-5}$**(α_{crit}= 0.1)	**$<2.20*10^{-16}$**(α_{crit}= 0.1)	**$<2.20*10^{-16}$**(α_{crit}= 0.1)
17	*F value*	**43.74** (F_{crit}= 2.72)	**59.35** (F_{crit}= 1.96)	**20.21** (F_{crit}= 1.96)
	p value	**$8.90*10^{-11}$**(α_{crit}= 0.1)	**$<2.20*10^{-16}$**(α_{crit}= 0.1)	**$1.50*10^{-15}$**(α_{crit}= 0.1)

Table S6: Summary results of two-way ANOVA model for stem heights of Distichlis spicata outside and inside over years for each patch: stems~position+year+position:year. Position and year are main effects and position:year represents the interaction. Bold text is used to identify significant difference in the levels of each effect.

Transect	**Test**	**Position**	**Year**	**Position: Year**
1A	*F value*	**21.18** (F_{crit}= 2.97)	**5.66** (F_{crit}= 2.25)	**6.83** (F_{crit}= 2.25)
	p value	**$5.39*10^{-6}$**(α_{crit}= 0.1)	**$1.90*10^{-4}$**(α_{crit}= 0.1)	**$1.60*10^{-4}$**(α_{crit}= 0.1)
1B	*F value*	1.34 (F_{crit}= 2.97)	**64.11** (F_{crit}= 2.25)	**3.47** (F_{crit}= 2.25)
	p value	0.25 (α_{crit}= 0.1)	**$<2.20*10^{-16}$**(α_{crit}= 0.1)	**$8.20*10^{-3}$**(α_{crit}= 0.1)
2A	*F value*	**4.26** (F_{crit}= 2.97)	**57.03** (F_{crit}= 2.25)	**5.96** (F_{crit}= 2.25)
	p value	**$3.90*10^{-2}$**(α_{crit}= 0.1)	**$<2.20*10^{-16}$**(α_{crit}= 0.1)	**$1.10*10^{-4}$**(α_{crit}= 0.1)
2B	*F value*	-	**18.94** (F_{crit}= 2.18)	-
	p value	-	**$5.69*10^{-14}$**(α_{crit}= 0.1)	-
4	*F value*	0.10 (F_{crit}= 2.97)	**18.69** (F_{crit}= 2.25)	**6.77** (F_{crit}= 2.25)
	p value	0.75 (α_{crit}= 0.1)	**$2.15*10^{-14}$**(α_{crit}= 0.1)	**$2.53*10^{-5}$**(α_{crit}= 0.1)
7	*F value*	2.02 (F_{crit}= 2.97)	**25.14** (F_{crit}= 2.25)	**13.82** (F_{crit}= 2.25)
	p value	0.16 (α_{crit}= 0.1)	**$<2.20*10^{-16}$**(α_{crit}= 0.1)	**$9.17*10^{-11}$**(α_{crit}= 0.1)
9	*F value*	**15.49** (F_{crit}= 2.97)	**231.11** (F_{crit}= 2.25)	1.82 (F_{crit}= 2.25)
	p value	**$9.29*10^{-5}$**(α_{crit}= 0.1)	**$<2.20*10^{-16}$**(α_{crit}= 0.1)	0.12 (α_{crit}= 0.1)
10	*F value*	**2.95** (F_{crit}= 2.97)	**22.92** (F_{crit}= 2.25)	**3.09** (F_{crit}= 2.25)
	p value	**$8.60*10^{-2}$**(α_{crit}= 0.1)	**$<2.20*10^{-16}$**(α_{crit}= 0.1)	**$1.60*10^{-2}$**(α_{crit}= 0.1)
11	*F value*	**6.26** (F_{crit}= 3.07)	**25.16** (F_{crit}= 2.36)	1.67 (F_{crit}= 2.36)
	p value	**$1.00*10^{-2}$**(α_{crit}= 0.1)	**$<2.20*10^{-16}$**(α_{crit}= 0.1)	0.19 (α_{crit}= 0.1)
12	*F value*	**16.52** (F_{crit}= 2.97)	**11.23** (F_{crit}= 2.25)	**6.83** (F_{crit}= 2.25)
	p value	**$5.78*10^{-5}$**(α_{crit}= 0.1)	**$1.19*10^{-8}$**(α_{crit}= 0.1)	**$2.49*10^{-5}$**(α_{crit}= 0.1)
13	*F value*	**10.38** (F_{crit}= 3.00)	**8.99** (F_{crit}= 2.89)	**8.33** (F_{crit}= 2.89)
	p value	**$1.00*10^{-3}$**(α_{crit}= 0.1)	**$4.92*10^{-7}$**(α_{crit}= 0.1)	**$1.58*10^{-6}$**(α_{crit}= 0.1)
14	*F value*	$1.60*10^{-2}$(F_{crit}= 2.97)	**66.13** (F_{crit}= 2.25)	**4.71** (F_{crit}= 2.25)

	p value	0.90 (α_{crit}= 0.1)	**<2.20*10^{-16}**(α_{crit}= 0.1)	**1.10*10^{-3}**(α_{crit}= 0.1)
15	*F value*	**10.64** (F_{crit}= 2.97)	**7.34** (F_{crit}= 2.25)	**32.46** (F_{crit}= 2.25)
	p value	**1.20*10^{-3}**(α_{crit}= 0.1)	**1.01*10^{-5}**(α_{crit}= 0.1)	**<2.20*10^{-16}**(α_{crit}= 0.1)
16	*F value*	**7.76** (F_{crit}= 2.97)	**15.54** (F_{crit}= 2.25)	**51.65** (F_{crit}= 2.25)
	p value	**6.00*10^{-3}**(α_{crit}= 0.1)	**1.32*10^{-11}**(α_{crit}= 0.1)	**<2.20*10^{-16}**(α_{crit}= 0.1)
17	*F value*	**12.42** (F_{crit}= 2.97)	**17.87** (F_{crit}= 2.25)	**9.30** (F_{crit}= 2.25)
	p value	**4.80*10^{-4}**(α_{crit}= 0.1)	**2.54*10^{-13}**(α_{crit}= 0.1)	**3.87*10^{-7}**(α_{crit}= 0.1)

Table S7: Summary results of two-way ANOVA model for stem heights of Spartina alterniflora outside and inside over years for each patch: stems~position+year+position:year. Position and year are main effects and position:year represents the interaction. Bold text is used to identify significant difference in the levels of each effect.

Transect	**Test**	**Position**	**Year**	**Position: Year**
2B	*F value*	**0.10** (F_{crit}= 2.97)	**39.07** (F_{crit}= 2.25)	**7.35** (F_{crit}= 2.25)
	p value	**0.75** (α_{crit}= 0.1)	**<2.20*10^{-16}**(α_{crit}= 0.1)	**1.09*10^{-5}**(α_{crit}= 0.1)
3	*F value*	**98.76** (F_{crit}= 2.97)	**84.67** (F_{crit}= 2.25)	**2.41** (F_{crit}= 2.25)
	p value	**<2.20*10^{-16}**(α_{crit}= 0.1)	**<2.20*10^{-16}**(α_{crit}= 0.1)	**7.00*10^{-2}**(α_{crit}= 0.1)
6	*F value*	2.31 (F_{crit}= 2.97)	**18.74** (F_{crit}= 2.25)	**15.19** (F_{crit}= 2.25)
	p value	0.13 (α_{crit}= 0.1)	**2.34*10^{-14}**(α_{crit}= 0.1)	**1.01*10^{-11}**(α_{crit}= 0.1)
14	*F value*	**5.83** (F_{crit}= 2.97)	**71.48** (F_{crit}= 2.25)	**8.35** (F_{crit}= 2.25)
	p value	**2.00*10^{-2}**(α_{crit}= 0.1)	**<2.20*10^{-16}**(α_{crit}= 0.1)	**3.25*10^{-6}**(α_{crit}= 0.1)

Table S8: Summary results of two-way ANOVA model for stem heights of Juncus gerardi outside and inside over years for each patch: stems~position+year+position:year. Position and year are main effects and position:year represents the interaction. Bold text is used to identify significant difference in the levels of each effect.

Transect	**Test**	**Position**	**Year**	**Position: Year**
10	*F value*	**3.86** (F_{crit}= 2.97)	**36.43** (F_{crit}= 2.25)	**18.35** (F_{crit}= 2.25)
	p value	**5.00*10^{-2}**(α_{crit}= 0.1)	**<2.20*10^{-16}**(α_{crit}= 0.1)	**1.01*10^{-10}**(α_{crit}= 0.1)
11	*F value*	1.20 (F_{crit}= 2.99)	**35.41** (F_{crit}= 2.27)	1.50 (F_{crit}= 2.27)
	p value	0.27 (α_{crit}= 0.1)	**<2.20*10^{-16}**(α_{crit}= 0.1)	0.22 (α_{crit}= 0.1)
12	*F value*	**40.70** (F_{crit}= 2.97)	2.06 (F_{crit}= 2.25)	**2.36** (F_{crit}= 2.25)
	p value	**1.50*10^{-9}**(α_{crit}= 0.1)	0.11 (α_{crit}= 0.1)	**7.00*10^{-2}**(α_{crit}= 0.1)
15	*F value*	**14.88** (F_{crit}= 2.97)	**34.06** (F_{crit}= 2.25)	**3.13** (F_{crit}= 2.25)
	p value	**1.60*10^{-4}**(α_{crit}= 0.1)	**<2.20*10^{-16}**(α_{crit}= 0.1)	**4.60*10^{-2}**(α_{crit}= 0.1)

16	*F value*	**34.21** (F_{crit}= 2.97)	**28.27** (F_{crit}= 2.25)	**10.76** (F_{crit}= 2.25)
	p value	**$1.93*10^{-8}$**(α_{crit}= 0.1)	**$<2.20*10^{-16}$**(α_{crit}= 0.1)	**$1.20*10^{-3}$**(α_{crit}= 0.1)